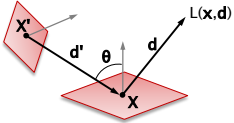


Équation de l'éclairage

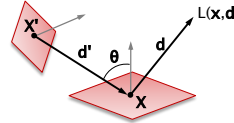
Radiance en $\text{Watt/m}^2/\text{sr}$ 

$$L(\mathbf{x}, \mathbf{d}) = \underbrace{E(\mathbf{x}, \mathbf{d})}_{\text{Radiance émise du point } \mathbf{x}:} + \int \rho(\mathbf{x}, \mathbf{d}, \mathbf{d}') v(\mathbf{x}, \mathbf{x}') L(\mathbf{x}', \mathbf{d}') G(\mathbf{x}, \mathbf{x}') dA$$

Radiance émise du point \mathbf{x} :
non-nulle uniquement pour les sources de lumières

7

Équation de l'éclairage

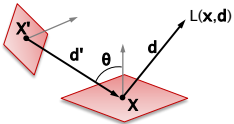
Radiance en $\text{Watt/m}^2/\text{sr}$ 

$$L(\mathbf{x}, \mathbf{d}) = E(\mathbf{x}, \mathbf{d}) + \underbrace{\int \rho(\mathbf{x}, \mathbf{d}, \mathbf{d}') v(\mathbf{x}, \mathbf{x}') L(\mathbf{x}', \mathbf{d}') G(\mathbf{x}, \mathbf{x}') dA}_{\text{Intégration des contributions de toutes les surfaces}}$$

Intégration des contributions
de toutes les surfaces

8

Équation de l'éclairage

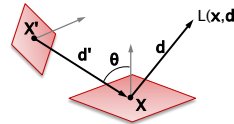
Radiance en $\text{Watt/m}^2/\text{sr}$ 

$$L(\mathbf{x}, \mathbf{d}) = E(\mathbf{x}, \mathbf{d}) + \int \rho(\mathbf{x}, \mathbf{d}, \mathbf{d}') v(\mathbf{x}, \mathbf{x}') \underbrace{L(\mathbf{x}', \mathbf{d}')}_{\text{Radiance incidente depuis le point } \mathbf{x}' \text{ dans la direction } \mathbf{d}'} G(\mathbf{x}, \mathbf{x}') dA$$

Radiance incidente
depuis le point \mathbf{x}' dans la direction \mathbf{d}'

9

Équation de l'éclairage

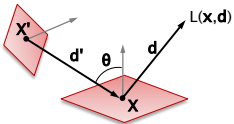
Radiance en $\text{Watt/m}^2/\text{sr}$ 

$$L(\mathbf{x}, \mathbf{d}) = E(\mathbf{x}, \mathbf{d}) + \int \underbrace{\rho(\mathbf{x}, \mathbf{d}, \mathbf{d}')}_{\text{Pondération par la réflectance (BRDF) de la surface en } \mathbf{x}} v(\mathbf{x}, \mathbf{x}') L(\mathbf{x}', \mathbf{d}') G(\mathbf{x}, \mathbf{x}') dA$$

Pondération par la réflectance (BRDF)
de la surface en \mathbf{x}

10

Équation de l'éclairage

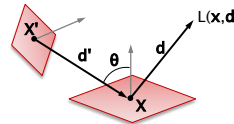
Radiance en $\text{Watt/m}^2/\text{sr}$ 

$$L(\mathbf{x}, \mathbf{d}) = E(\mathbf{x}, \mathbf{d}) + \int \rho(\mathbf{x}, \mathbf{d}, \mathbf{d}') \underbrace{v(\mathbf{x}, \mathbf{x}')}_{\text{Visibilité entre } \mathbf{x} \text{ et } \mathbf{x}'}} L(\mathbf{x}', \mathbf{d}') G(\mathbf{x}, \mathbf{x}') dA$$

Visibilité entre \mathbf{x} et \mathbf{x}'
1 quand les surfaces sont visibles
dans la direction \mathbf{d}' , 0 sinon

11

Équation de l'éclairage

Radiance en $\text{Watt/m}^2/\text{sr}$ 

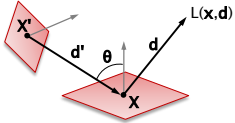
$$L(\mathbf{x}, \mathbf{d}) = E(\mathbf{x}, \mathbf{d}) + \int \rho(\mathbf{x}, \mathbf{d}, \mathbf{d}') v(\mathbf{x}, \mathbf{x}') \underbrace{G(\mathbf{x}, \mathbf{x}')}_{\text{Description de la relation géométrique entre les deux surfaces en } \mathbf{x} \text{ et } \mathbf{x}'}} dA$$

Description de la relation géométrique
entre les deux surfaces en \mathbf{x} et \mathbf{x}'

12

Équation de l'éclairage

Radiance en W/m²/sr



$$L(x, d) = E(x, d) + \int \rho(x, d, d') v(x, x') L(x', d') G(x, x') dA$$

Solution analytique générale impossible

13

Deux discrétisations

▶ Radiosité

- Discrétisation de la géométrie : échanges entre patches
- Tous les objets sont diffus



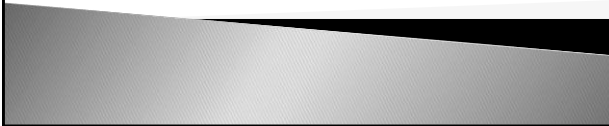
▶ Lancé de rayons et ses extensions (Monte-Carlo path tracing, Photon mapping...)

- Échantillonnage de l'intégrale
- Lois de l'optique



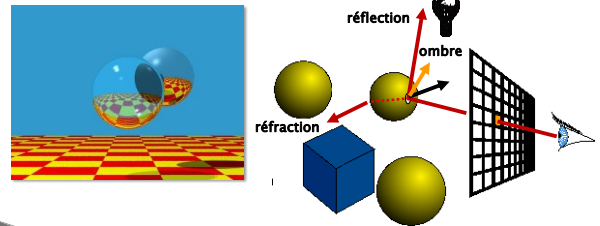
14

Lancer de rayons



« Whitted Ray Tracing » (1980)

- ▶ Un rayon par pixel
- ▶ Trois nouveaux rayons sont générés



15

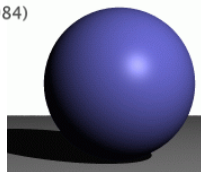
Encore plus de rayons

« Distributed Ray Tracing » Cook et al. (1984)

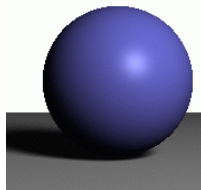
▶ Ombres douces

- plusieurs rayons par source de lumière étendue

source ponctuelle



source étendue



17

Encore plus de rayons

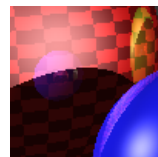
« Distributed Ray Tracing » Cook et al. (1984)

▶ Ombres douces

- plusieurs rayons par source de lumière étendue

▶ Anti-aliasing

- plusieurs rayons par pixel



1 rayon



2 rayons



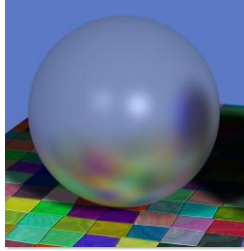
3 rayons

18

Encore plus de rayons

« Distributed Ray Tracing » Cook et al. (1984)

- Ombres douces
 - plusieurs rayons par source de lumière étendue
- Anti-aliasing
 - plusieurs rayons par pixel
- Réflexion « glossy »
 - plusieurs rayons réfléchis



19

Encore plus de rayons

« Distributed ray tracing » Cook et al. (1984)

- Ombres douces
 - plusieurs rayons par source de lumière étendue
- Anti-aliasing
 - plusieurs rayons par pixel
- Réflexion « glossy »
 - plusieurs rayons réfléchis
- Flou cinétique
 - plusieurs rayon au cours du temps

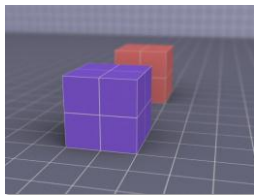


20

Encore plus de rayons

« Distributed Ray Tracing » Cook et al. (1984)

- Ombres douces
 - plusieurs rayons par source de lumière étendue
- Anti-aliasing
 - plusieurs rayons par pixel
- Réflexion « glossy »
 - plusieurs rayons réfléchis
- Flou cinétique
 - plusieurs rayon au cours du temps
- Profondeur de champ
 - plusieurs rayons par pixel en considérant une lentille

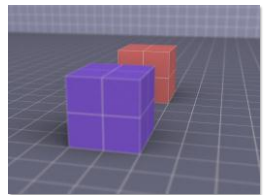


21

Encore plus de rayons

« Distributed Ray Tracing » Cook et al. (1984)

- Ombres douces
 - plusieurs rayons par source de lumière étendue
- Anti-aliasing
 - plusieurs rayons par pixel
- Réflexion « glossy »
 - plusieurs rayons réfléchis
- Flou cinétique
 - plusieurs rayon au cours du temps
- Profondeur de champ
 - plusieurs rayons par pixel en considérant une lentille



22

Lancer de rayon = intégration !

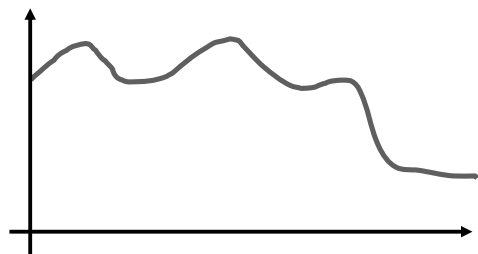
- De quoi ?
 - des **sources lumineuses** : ombres douce
 - des **pixels** : anti-aliasing
 - de la **BRDF** : réflexions « glossy »
 - du **temps** : flou cinétique
 - de la **lentille** : profondeur de champs
 - De l'**hémisphère** : éclairage indirect
 - des **chemins lumineux** : illumination globale
- Méthode générique de calcul d'intégrales multi-dimensionnelles :

Intégration de Monte Carlo

23

Integration en 1D

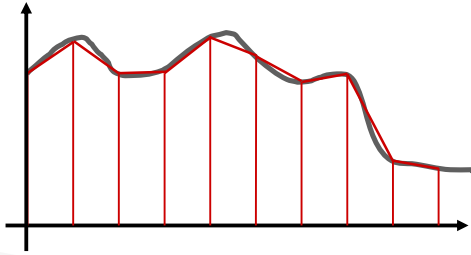
- Intégrale d'une fonction quelconque
- Problème continu \Rightarrow discrétisation



24

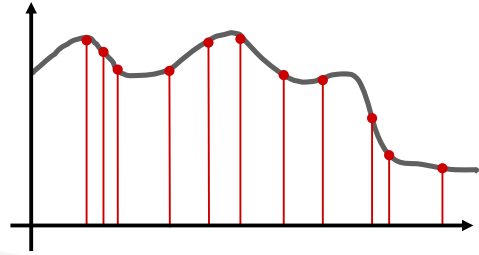
Integration en 1D

- Approximation par des trapèzes : méthode de Simpson



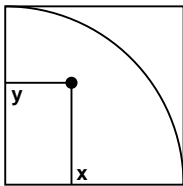
Integration 1D

- Monte Carlo : échantillonnage aléatoire
 - Inutile de mémoriser l'écart entre les n échantillons
 - Mais on espère qu'en moyenne il est de $1/n$



Monte Carlo : calcul de π

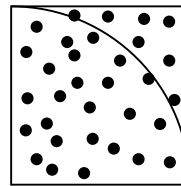
- Prenons un carré
- Prenons un point aléatoire (x,y) dans ce carré
- Testons s'il est dans le $\frac{1}{4}$ de disque ($x^2+y^2 < 1$)
- La probabilité est de $\pi/4$



C'est l'intégral de la fonction valant 1 dans le disque et 0 en dehors

Monte Carlo : calcul de π

- La probabilité est de $\pi/4$
- Soit $n = \# \text{ points dedans} / \# \text{ points total}$
- $\pi \approx n * 4$
- L'erreur dépend du nombre d'essais



Pourquoi ne pas utiliser Simpson ?

- Pour calculer π , Monte Carlo n'est pas très efficace
- Mais la convergence est indépendante de la dimension
- ⇒ Intégration de Monte Carlo très efficace en grande dimensionnalité

Variables aléatoires continues

- Variable aléatoire réelle x
- Densité de probabilité : $p(x)$
 - probabilité que cette variable soit entre x et $x+dx$ est $p(x) dx$

Espérance

$$E[x] = \int_{-\infty}^{\infty} xp(x)dx$$

$$E[f(x)] = \int_{-\infty}^{\infty} f(x)p(x)dx$$

- L'espérance est linéaire :

$$E[f_1(x) + a f_2(x)] = E[f_1(x)] + a E[f_2(x)]$$

31

Intégration de Monte Carlo

- Soit la fonction $f(x)$ avec x dans $[a, b]$

- Calculons : $I = \int_a^b f(x)dx$

- Considérons une variable aléatoire x
- Si x a une distribution uniforme, $I = E[f(x)]$
 - par définition de l'espérance

32

Somme de variables aléatoires

- Soit N variables indépendantes identiquement distribuées (IID) x_i (N échantillons)
 - de même probabilité (ici uniforme)

- Définissons :

$$F_N = \frac{1}{N} \sum_{j=1}^n f(x_i) \quad \text{estimateur de Monte Carlo}$$

- Par linéarité de l'espérance :

$$E[F_N] = E[f(x)]$$

33

Variance

$$\sigma^2 = E[(x - E[x])^2] = \int_{-\infty}^{\infty} (x - E[x])^2 p(x) dx$$

- Mesure de l'écart à l'espérance
- Déviation standard σ : racine de la variance
- Propriétés :
 - $\sigma^2[x+y] = \sigma^2[x] + \sigma^2[y] + 2 \text{Cov}[x,y]$
 - $\sigma^2[ax] = a^2 \sigma^2[x]$

34

Étude de la variance

$$\sigma^2[F_N] = \sigma^2 \left[\sum_{j=1}^n \frac{f(x_i)}{N} \right]$$

- Variables indépendantes $\Rightarrow \text{Cov}[x_i, x_j] = 0$ si $i \neq j$

$$\sigma^2[F_N] = \frac{\sigma^2[f(x)]}{N}$$

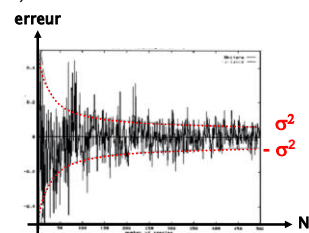
- Donc σ (erreur) diminue en \sqrt{N}
- \Rightarrow convergence lente

35

Exemple

$$I = \int_0^1 5x^4 dx$$

- En théorie, $I = 1.0$
- En pratique, avec une distribution uniforme



36

Intégration de MC : avantages

- Peu de restriction sur la fonction à intégrer
 - Pas de problème de continuité, régularité...
 - Nécessite seulement une évaluation ponctuelle
- Même convergence en dimension supérieure
- Conceptuellement simple

37

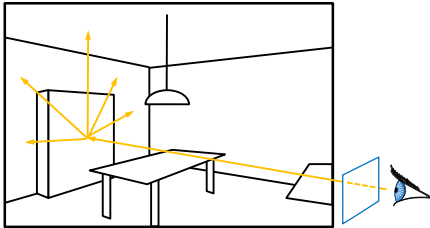
Intégration de MC : inconvénients

- Bruité
- Convergence lente
- Implémentation efficace difficile

38

Méthodes de Monte Carlo

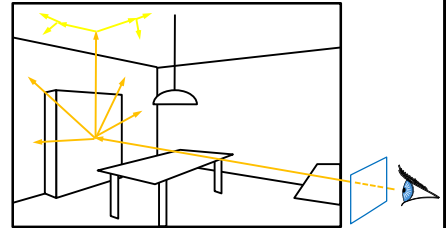
- Un rayon par pixel
- En chaque point visible : tirage aléatoire de rayons pour accumuler la radiance



39

Méthodes de Monte Carlo

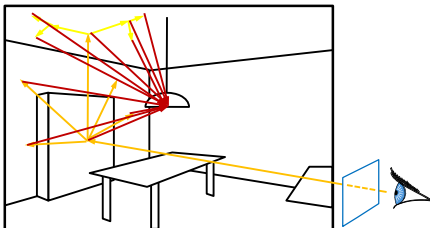
- Un rayon par pixel
- En chaque point visible : tirage aléatoire de rayons pour accumuler la radiance
- Continuer récursivement



40

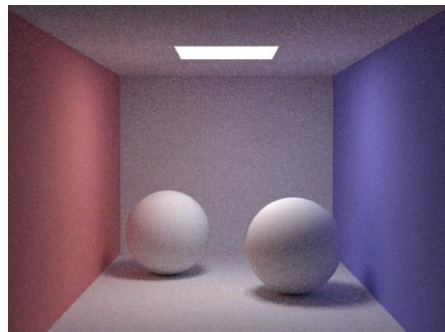
Méthodes de Monte Carlo

- Un rayon par pixel
- En chaque point visible : tirage aléatoire de rayons pour accumuler la radiance
- Continuer récursivement
- Échantillonner la lampe systématiquement



41

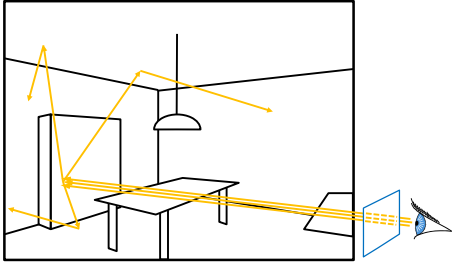
Résultats



42

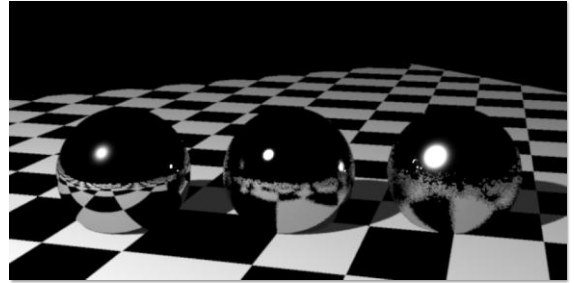
Monte Carlo Path Tracing

- ▶ Tracer seulement un rayon par récursion
- ▶ Mais lancer plusieurs (des centaines de) rayons primaires par pixel



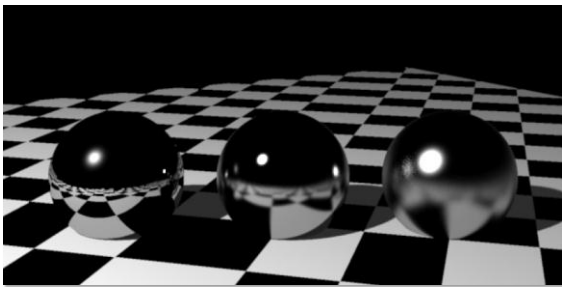
Résultats

- ▶ 1 échantillon par pixel



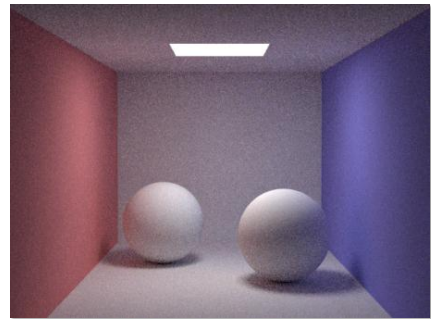
Résultats

- ▶ 256 échantillons par pixel



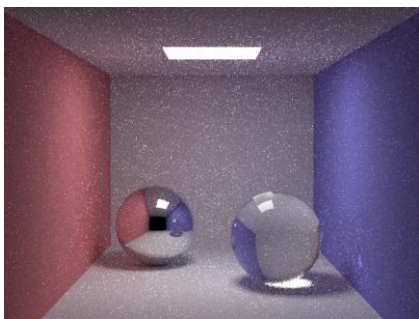
Résultats : matériaux diffus

- ▶ 10 paths/pixel



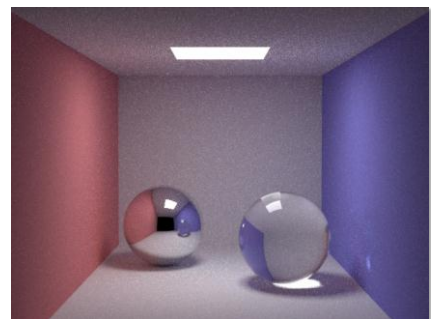
Résultats : matériaux brillant

- ▶ 10 paths/pixel



Résultats : matériaux brillant

- ▶ 100 paths/pixel



Pourquoi l'aléatoire ?

- Séquence pseudo-aléatoire fixe
- La structure apparaît dans l'erreur



49

Résumé

- Envoyer des rayons aléatoires
- Échantillonner l'équation de rendu
- Pas de limitation
 - Ni sur la réflectance
 - Ni sur la géométrie
- Extrêmement flexible
- Peut être bruité et/ou très lent
 - Réduction de la variance : « **importance sampling** »
 - Accélération : « **Irradiance caching** »

50

Importance de l'échantillonnage



Échantillonnage naïf

Échantillonnage optimal
(Veach and Guibas 1995)

51

Distribution non-uniforme

- N échantillons de **probabilité p(x)**
- L'estimateur de Monte Carlo devient :

$$F_N = \frac{1}{N} \sum_{i=1}^N \frac{f(x_i)}{p(x_i)}$$

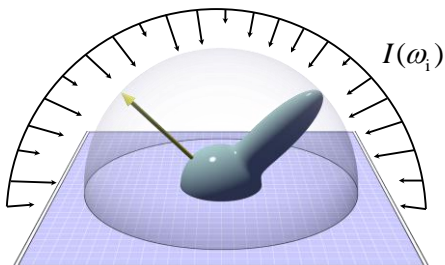
- La probabilité **p** permet d'échantillonner le domaine plus intelligemment

Comment choisir cette probabilité ?

52

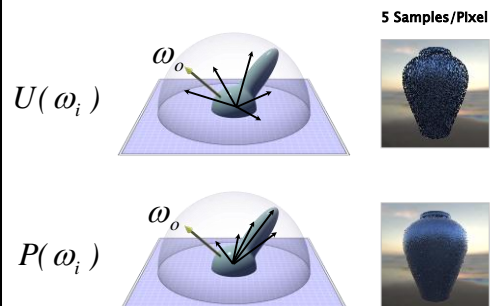
Exemple: réflexions « glossy »

- Intégrer sur l'hémisphère des directions
- BRDF x cosinus x lumière incidente



Slide courtesy of Jason Lawrence

Échantillonner une BRDF

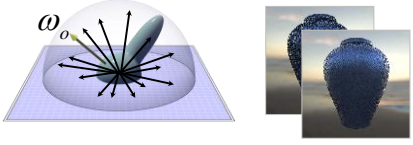


Slide courtesy of Jason Lawrence

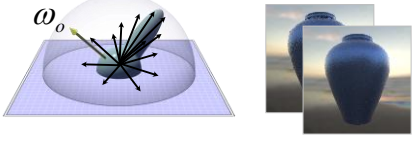
Échantillonner une BRDF

25 Samples/Pixel

$U(\omega_i)$



$P(\omega_i)$

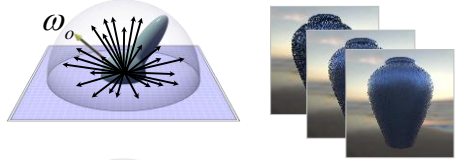


Slide courtesy of Jason Lawrence

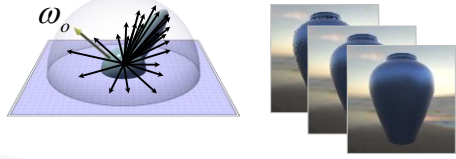
Échantillonner une BRDF

75 Samples/Pixel

$U(\omega_i)$



$P(\omega_i)$



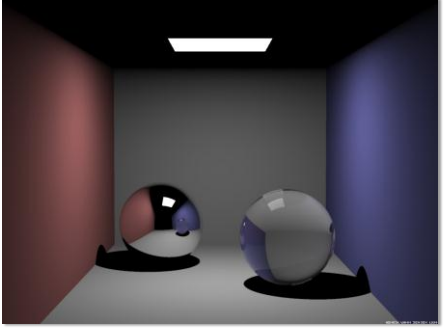
Slide courtesy of Jason Lawrence

« Importance sampling »

$$F_N = \frac{1}{N} \sum_{i=1}^N \frac{f(x_i)}{p(x_i)}$$

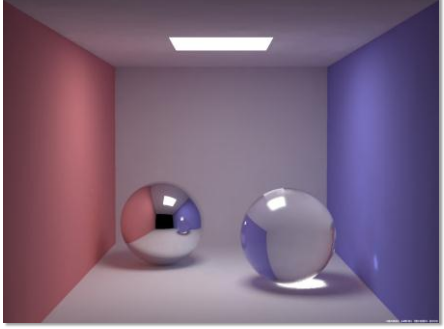
- Choisir **p** intelligemment pour réduire la variance :
 - **p** doit ressembler à **f**
 - Ne change pas la convergence en \sqrt{N} (réduit la constante)

Illumination directe



58

Illumination globale



59

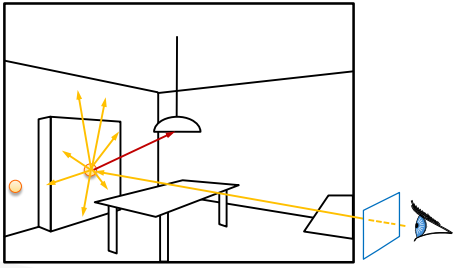
Illumination indirecte



60

Irradiance cache

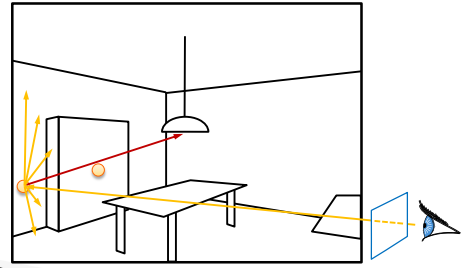
- › L'illumination indirecte varie spatialement lentement



61

Irradiance cache

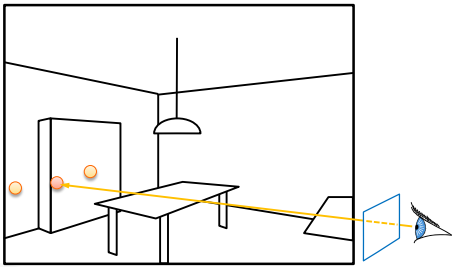
- › L'illumination indirecte varie spatialement lentement



62

Irradiance cache

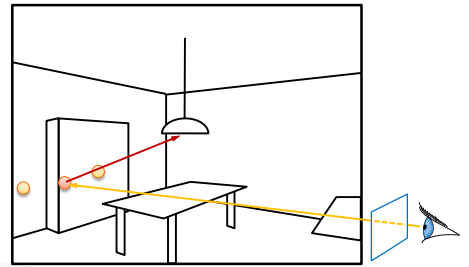
- › L'illumination indirecte varie lentement
- › Interpoler entre des valeurs proches



63

Irradiance cache

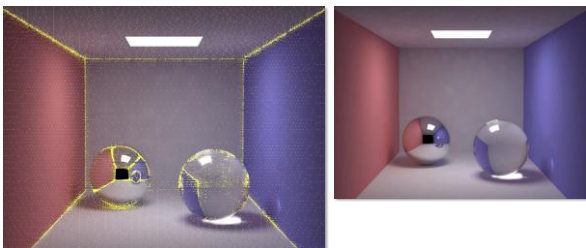
- › L'illumination indirecte varie lentement
- › Interpoler entre des valeurs du cache
- › Mais calculer l'éclairage direct complètement



64

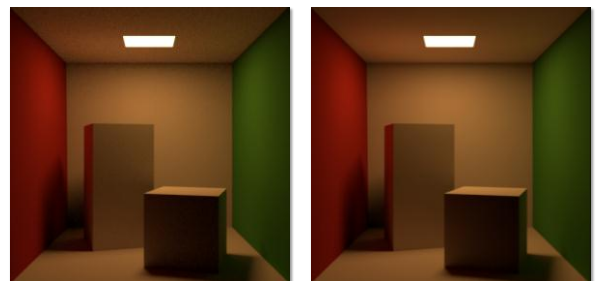
Irradiance cache

- › Points jaunes : contribution de l'illumination indirecte



65

Irradiance cache



Path Tracing

Path tracing + Irradiance cache

66

Irradiance cache



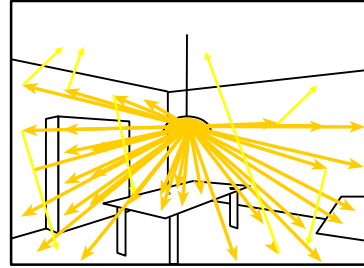
Path Tracing

Path tracing + Irradiance cache

67

Photon mapping

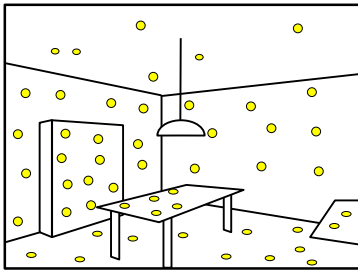
- Pré-calcul : lancer des rayons depuis les lampes



68

Photon mapping

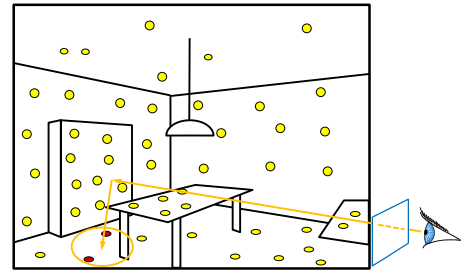
- Stocker les photons (position + intensité + direction) sur la géométrie ou dans une structure accélératrice



69

Photon mapping - rendu

- Lancer les rayons primaires
- Reconstruire la radiance des rayons secondaire en regardant les photons voisins



Résultats



Photon map

Rendu final

71

Résultats

- Jensen (1996)
 - Visualisation directe de la carte de photon : 6min



72

Résultats

- Walter (1998)
 - Éclairage global : 8h



73

Résultats

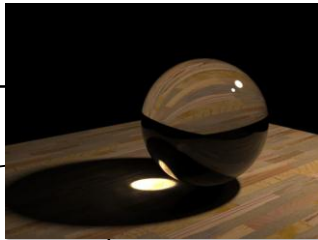
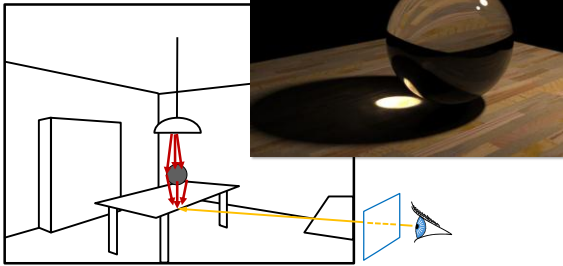
Mitsuba (<http://www.mitsuba-renderer.org/>)



74

Caustiques

- « Photon map »
spéciale réfraction



75

Résultats

V-Ray 1.5 for 3ds Max



76

Résultats



5 millions de photons depuis une seule lampe

77

Résultats

CyberMotion 3D-Designer



78

Résultats



Yafray : ray tracer open source avec Photon Mapping, intégré dans Blender.

79

Résultats



<http://en.wikipedia.org/wiki/POV-Ray>

80

Résumé du Photon Mapping

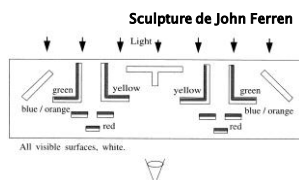
- Solution indépendante du point de vue
 - Stockage sur les surfaces
- Bonne représentation des caustiques
- Bruit : phase de lissage des échantillons
 - Reconstruction de la fonction de radiance
- Se code en deux passes à partir d'un lancer de rayons dans les deux directions

81

Radiosité

Radiosité

- Prendre en compte toutes les inter-réflexions



Photo



Lancer de rayon



Radiosité

83

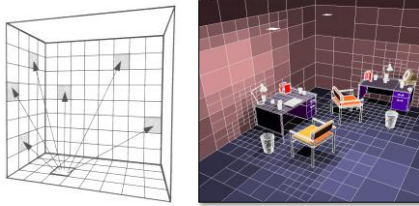
Les méthodes de radiosité [1984]

- Hypothèse : matériaux diffus
- Radiance, BRDF... **indépendantes de la direction**
- ⇒ Simplification de l'équation de l'éclairage
- Méthode de radiosité :
 - Discrétisation de cette équation en espace objet indépendamment du point de vue
 - Résolution de l'équation discrétisée
 - Génération finale des images en fonction du point de vue

84

L'équation de radiosité

- ▶ Environnement échantillonné sous la forme de patches discrets, de taille finie, émettant et réfléchissant la lumière uniformément sur leurs surface (choix d'une base)



Simplification et discrétisation

$$L(\mathbf{x}, \mathbf{d}) = E(\mathbf{x}, \mathbf{d}) + \int \rho(\mathbf{x}, \mathbf{d}, \mathbf{d}') v(\mathbf{x}, \mathbf{x}') G(\mathbf{x}, \mathbf{x}') dA$$

- ▶ Forme simplifiée :

$$B(\mathbf{x}) = E(\mathbf{x}) + \rho_x \int B(\mathbf{x}') \underbrace{v(\mathbf{x}, \mathbf{x}') G(\mathbf{x}, \mathbf{x}')}_{\text{facteur de forme}} dA$$

- ▶ Discrétisation :

$$B_i = E_i + \rho_i \sum_j F_{ji} B_j A_j / A_i$$

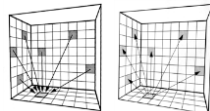
- B_i, B_j sont les radiosités des patches i et j (en W/m^2)
- E_i est le taux d'émission du patch i
- F_{ji} est le **facteur de forme** qui caractérise la proportion d'énergie quittant le patch j qui arrive sur le patch i
- A_i et A_j sont les surfaces des patches i et j

Notation matricielle

- ▶ En regroupant tous les éléments :

$$\begin{pmatrix} B_0 \\ B_n \end{pmatrix} = \begin{pmatrix} E_0 \\ E_n \end{pmatrix} + (\rho_i F_{ji}) \begin{pmatrix} B_0 \\ B_n \end{pmatrix} \Leftrightarrow B = E + MB$$

- ▶ Équation matricielle à résoudre itérativement pour chaque longueur d'onde traitée
 - Méthodes de relaxations (*gathering / shooting*)



Facteur de forme

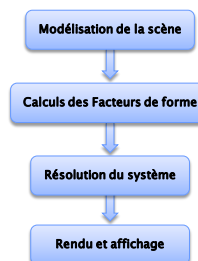
- ▶ Facteur de forme F_{ij} d'une surface A_i vers une surface A_j :

$$F_{ij} = \int_{A_i} \int_{A_j} v(\mathbf{x}, \mathbf{x}') \frac{\cos(\theta) \cos(\theta')}{\pi r^2} dx dx'$$

- ▶ **Problème** : réaliser cette intégration (intégrale quadruple) car pas de méthode analytique
 - ⇒ Solutions approximées : projection sur une hémisphère ou un hémicube.

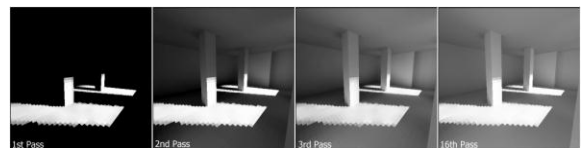
Résolution de la radiosité

- ▶ Calcul de l'illumination selon le pipeline :



Résolution de la radiosité

- ▶ Résolution itérative du système :



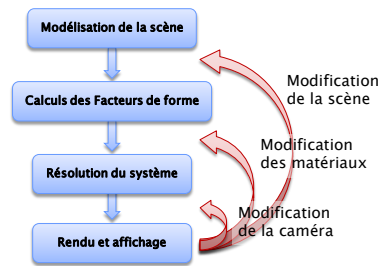
Question – 1 mn



- Que faut-il recalculer quand quelque chose change dans la scène ?
 - Géométrie
 - Matériaux
 - Point de vue

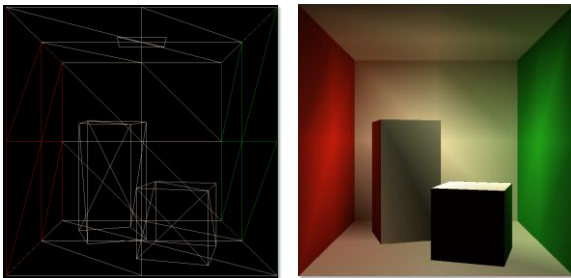
91

Résolution de la radiosité



92

Solution de Radiosité



93

Solution de Radiosité



Museum simulation. Cornell University. 50,000 patches.

94

Radiosité : avantages

- Calcul indépendant du point de vue
- Adapté aux scènes complexes
- Partitionnement des échanges lumineux
 - Mise à jour interactive

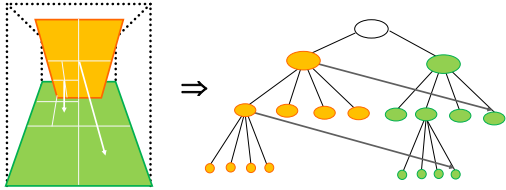
95

Radiosité : inconvénients

- Coût mémoire
- Diffus pur
 - « final gather » par Ray-Tracing
- Maillage
 - Maillage de discontinuité
- Pré-calculs très longs
 - Accélération possibles : radiosité hiérarchique

96

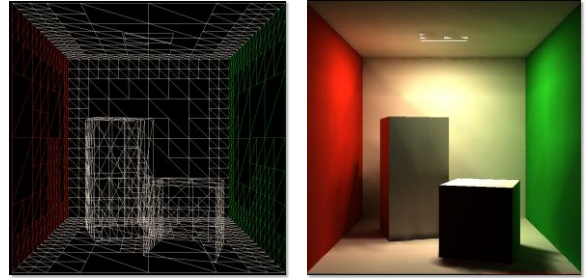
Radiosité hiérarchique [Hanrahan91]



- Calcul à différents niveau hiérarchique
- Regroupement

97

Radiosité hiérarchique



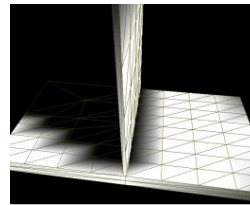
98

Radiosité hiérarchique

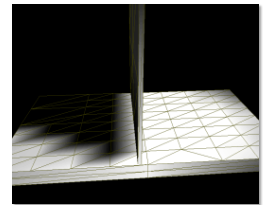


99

Qualité du maillage



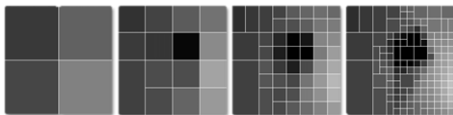
Fuite d'ombre



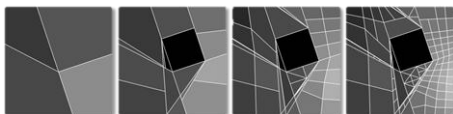
Fuite de lumière

100

Maillage des discontinuités



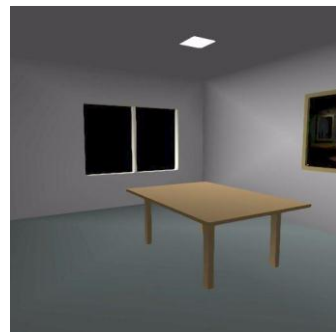
Subdivision régulière



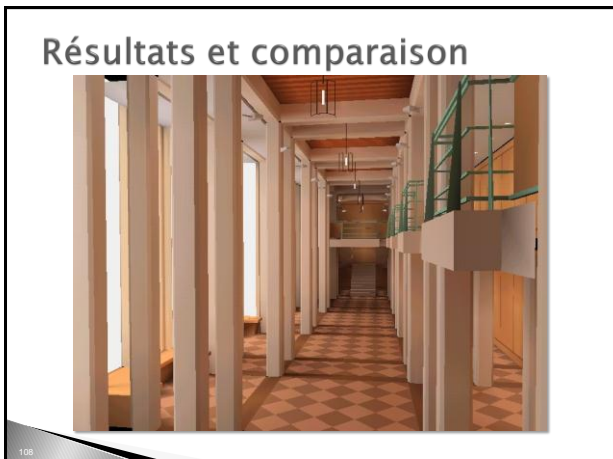
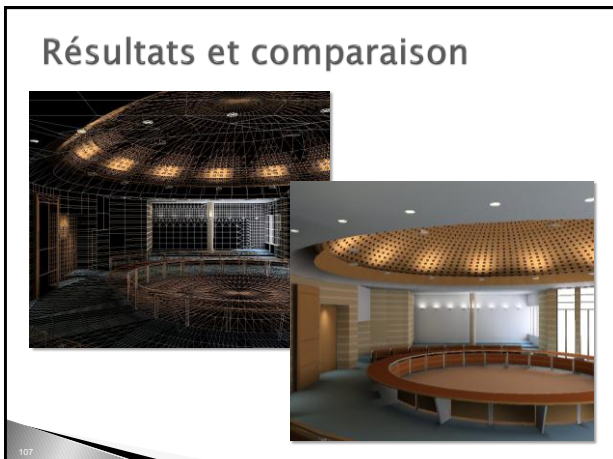
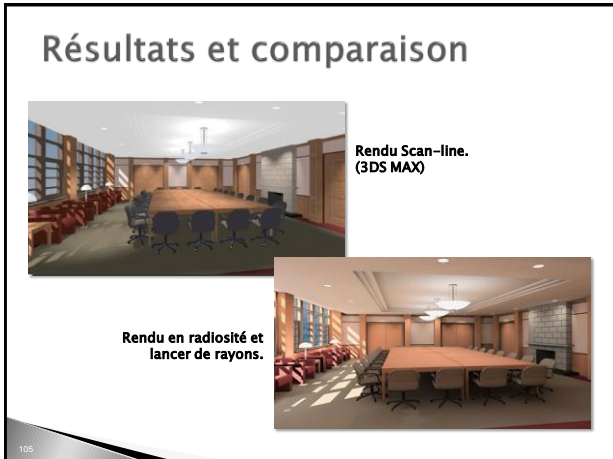
Subdivision selon les discontinuités

101

Maillage des discontinuités



102



Résultats et comparaison



109

La radiosité aujourd'hui

- Utilisé en architecture (Lightscape)
- Utilisé pour pré-calculer l'éclairage diffus pour certains jeux vidéos (light maps)

- Plus un sujet de recherche actif
 - Monte-Carlo plus général
 - Mais le "pre-computed radiance transfer" en est très proche (utilisé dans Max Payne 2)